



Caractérisation transcriptomique spatiale et ciblage de la mutation activatrice du gène GNAQ dans les anomalies vasculaires. « siGNAnova »



Paul Rossi, Yamina Idrissi, Léa Pechtimaldjian, Marie-Laure Jullié, Muriel Cario, Hamid-Reza Rezvani, Sorilla Mary-Prey, Christine Leauté-Labrèze, Fanny Morice-Picard, François Moisan









Les anomalies vasculaires sont des pathologies complexes









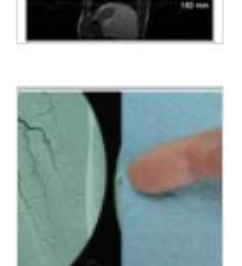








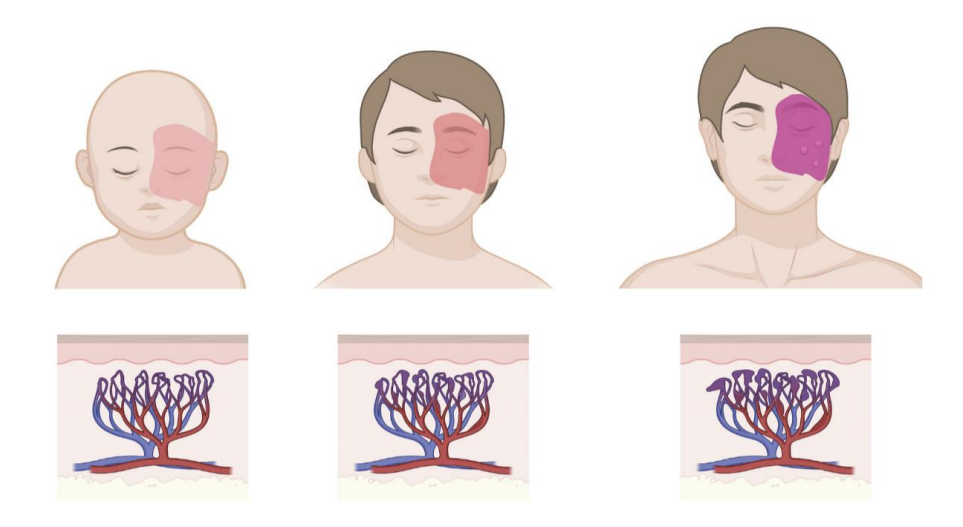




- Hémangiomes infantiles, d'autres tumeurs vasculaires rares
- Malformations vasculaires : veineuses, lymphatiques, artérioveineuses et capillaires.
- Grande partie congénitale
- Options thérapeutiques sont rares
- Chirurgie n'est pas toujours possible

malformation capillaire liée à GNAQ

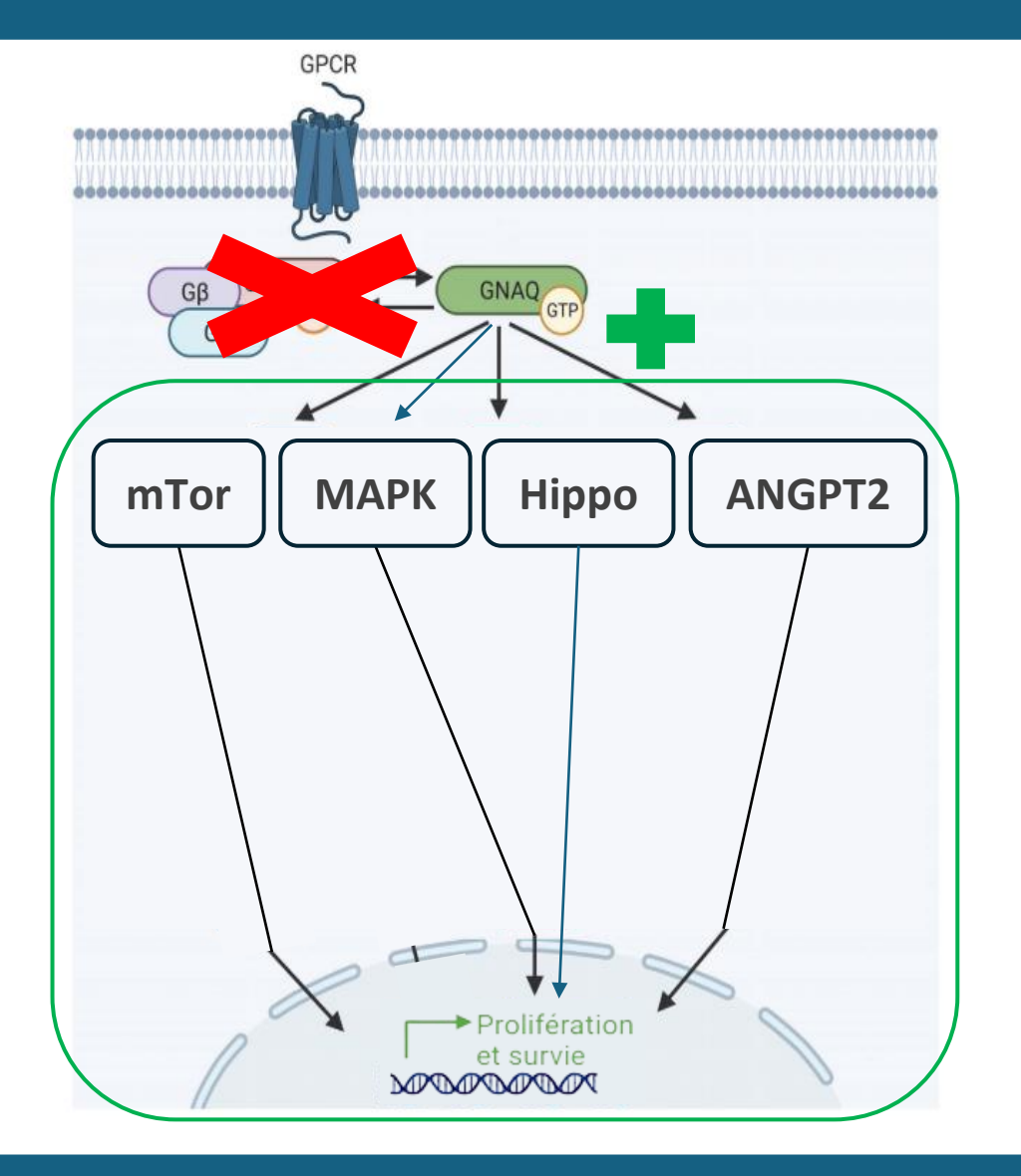
Progression avec l'âge de l'angiome cutané



Prolifération endothéliale

> mutation somatique mosaïque et dominante de GNAQ : p.Arg183Gln

Fréquence allélique : 1 à 18%



malformation capillaire liée à GNAQ

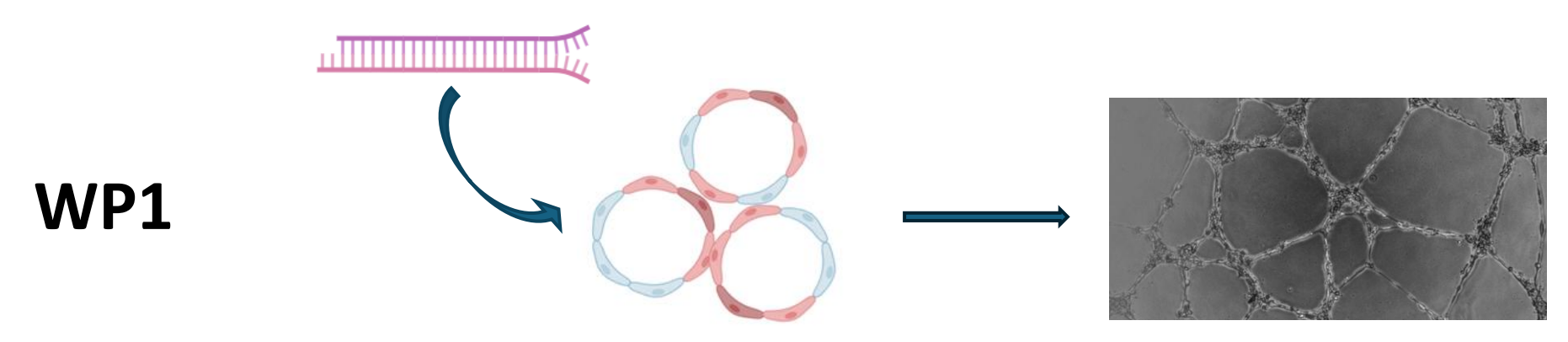
Hypothèses:

La mutation mosaïque est responsable de <u>régulations transcriptomiques</u> pouvant expliquer la maladie.

L'application d'un <u>siRNA spécifique de la mutation</u> GNAQ p.Arg183Gln, inhibe l'angiogenèse dans un modèle cellulaire endothélial.

Objectifs

Effet fonctionnel de la mutation et des siRNA



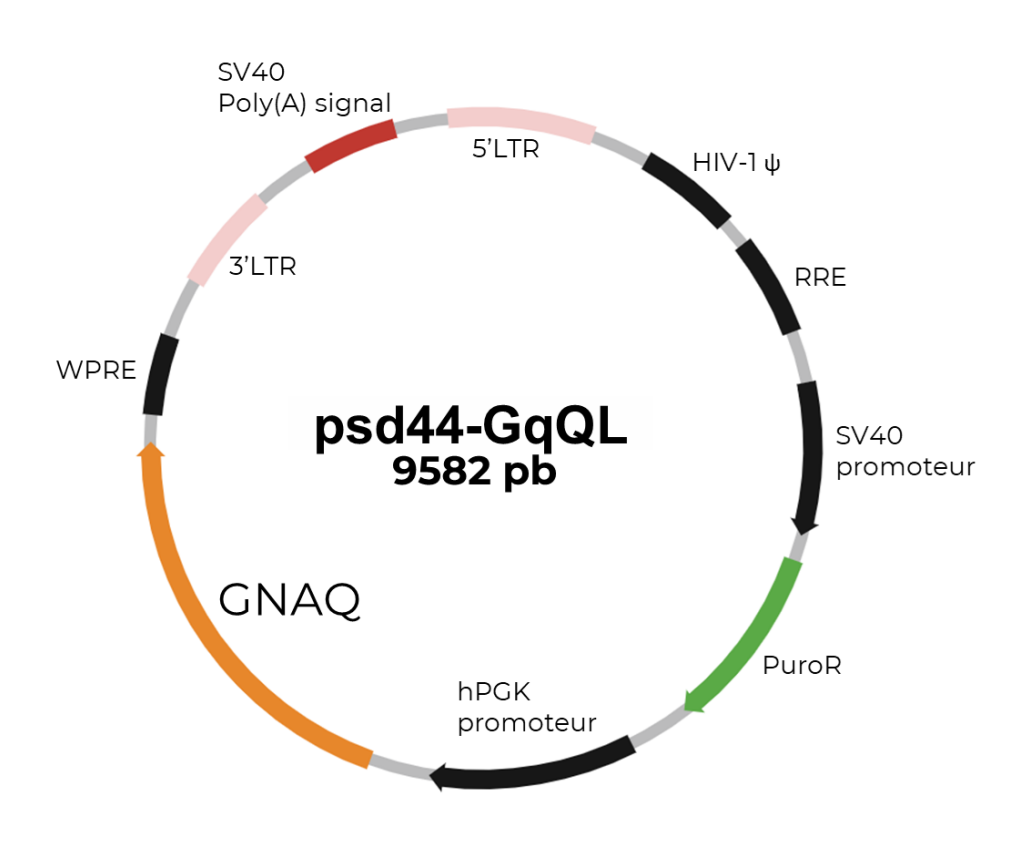
Identification et caractérisation de la mutation

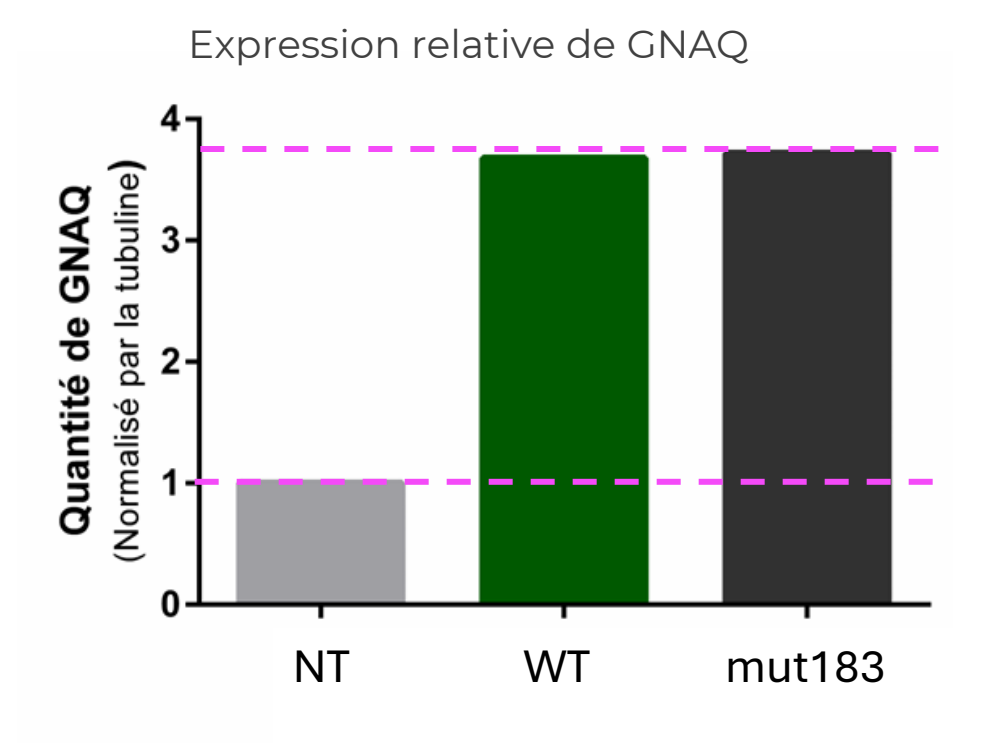
 $\mathsf{WP2} \qquad \qquad \mathsf{\longrightarrow} \qquad \mathsf{\longrightarrow$

Modèle

Modèle cellulaire HUVEC

Vecteur psd44 (simplifié)



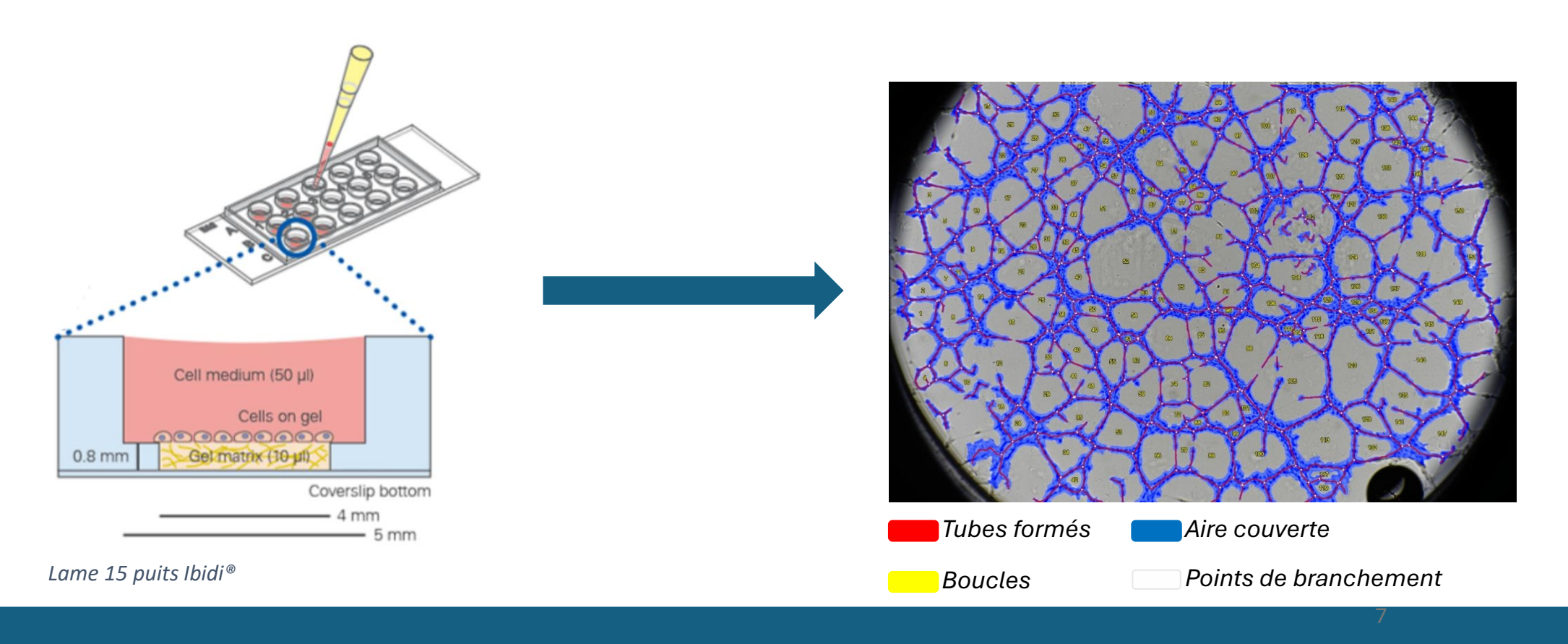


Test fonctionnel

Modèle in vitro : test de tubulogenèse

Protocole de tubulogenèse

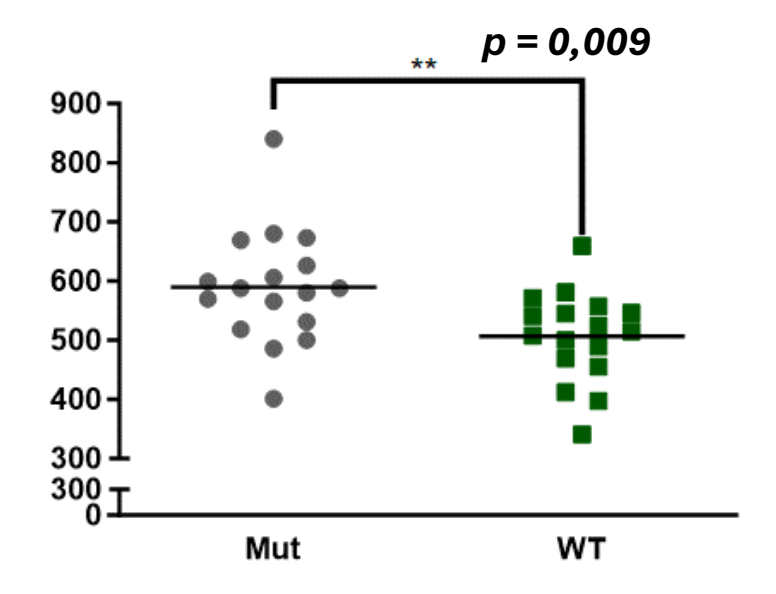
Analyse de tubulogenèse par WimTube



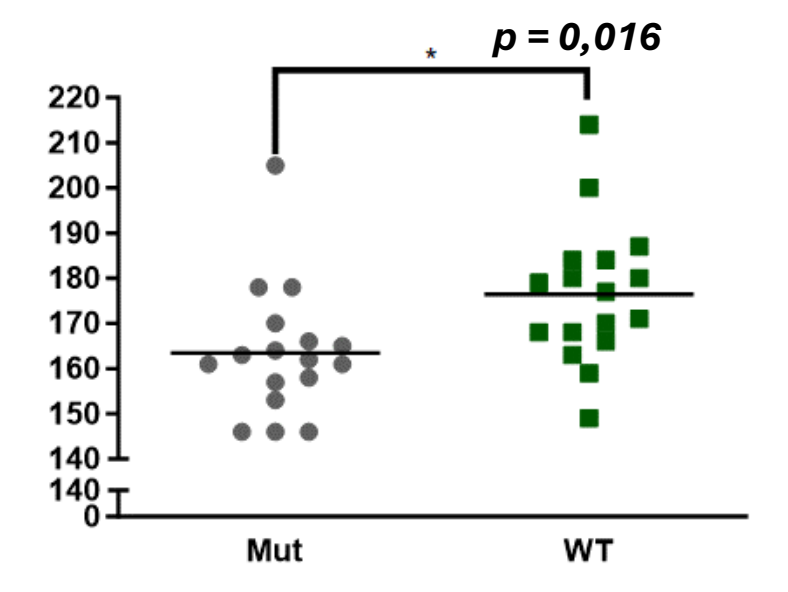
Effet de la mutation in vitro

$$n = 17$$

Nombre de tubes



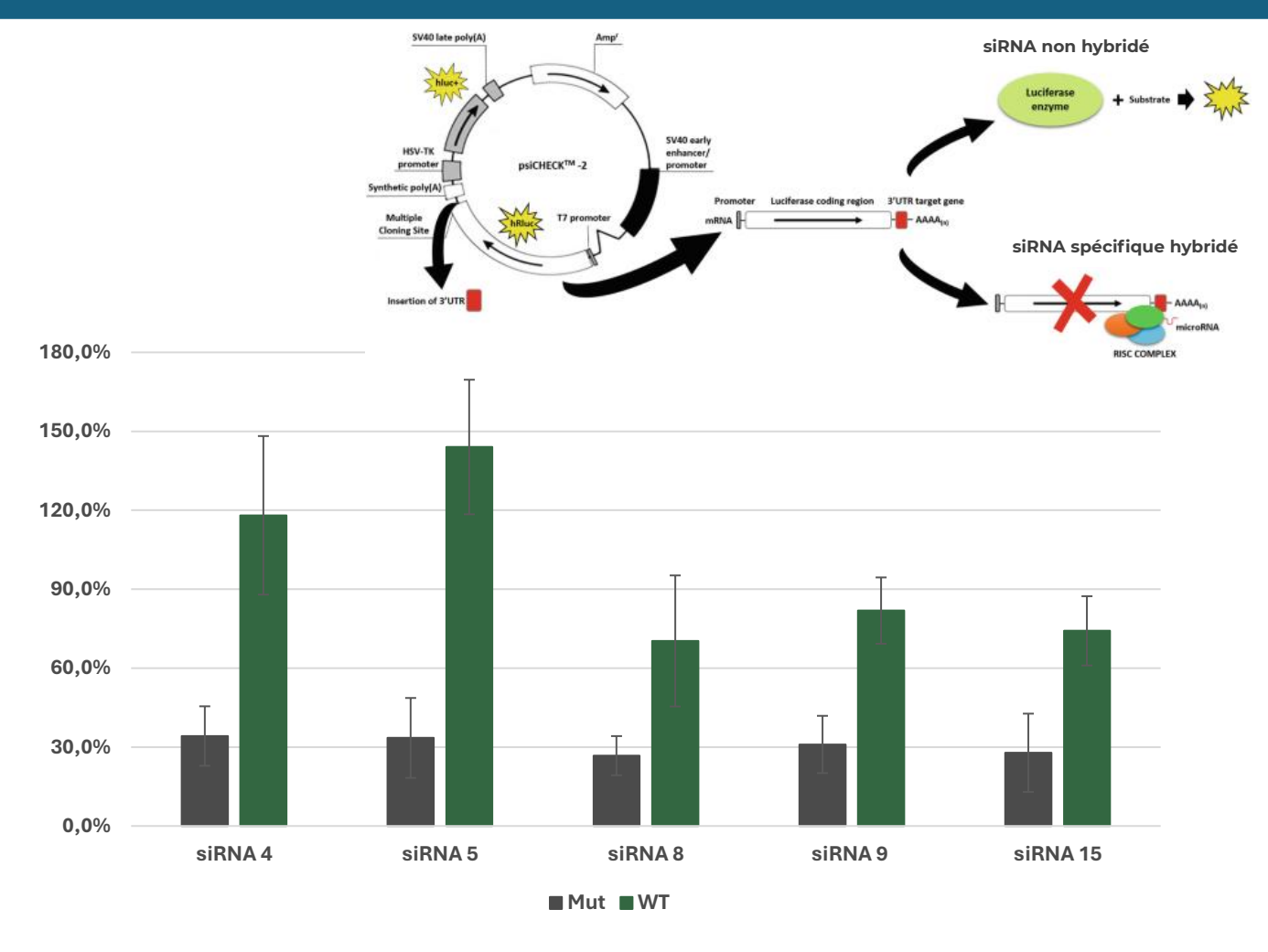
Moyenne de la longueur des tubes



siRNA design et sélection

c.548G>A

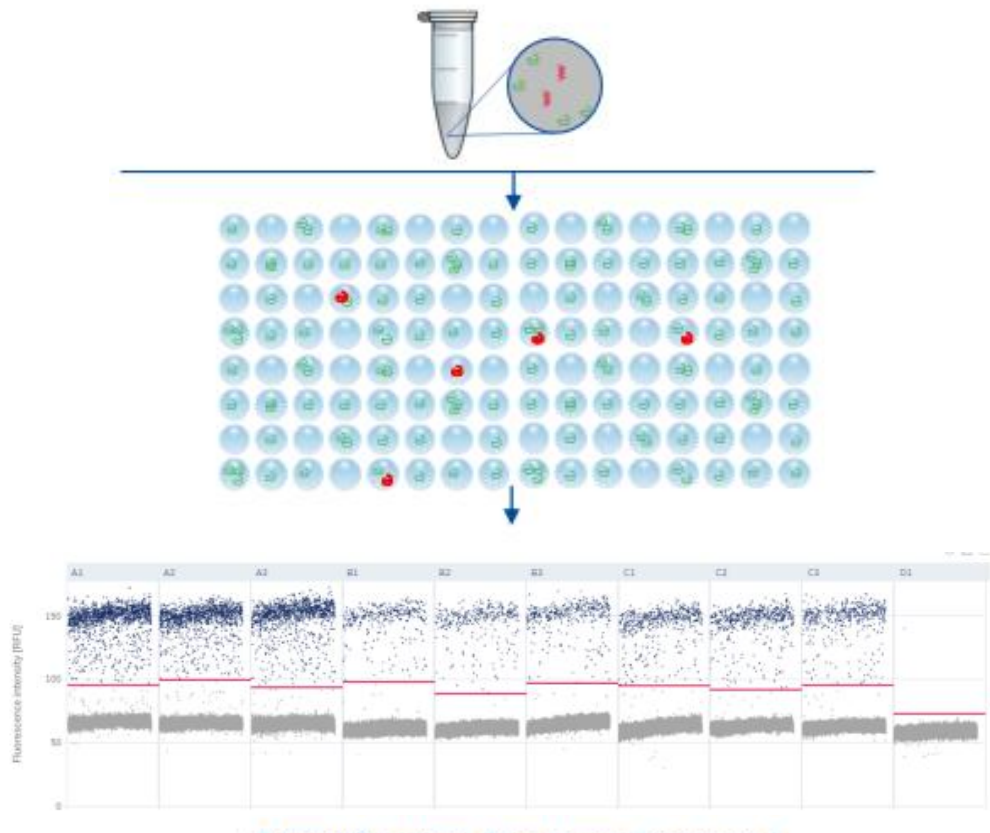
5'-ACGCAACAAGATGTGCTTAGAGTTCGAGTCCCCACCACAGGGATCATCGAA-3' GNAQ WT 5'-ACGCAACAAGATGTGCTTAGAGTTCAAGTCCCCACCACAGGGATCATCGAA-3' GNAQ R183Q siRNA GNAQ 548A.1 AAGAUGUGCUUAGAGUUCAUU siRNA GNAQ 548A.2 AGAUGUGCUUAGAGUUC**A**AUU siRNA GNAQ 548A.3 GAUGUGCUUAGAGUUCAAGUU siRNA GNAO 548A.4 AUGUGCUUAGAGUUC**A**AGUUU siRNA GNAQ 548A.5 UGUGCUUAGAGUUC**A**AGUCUU siRNA GNAO 548A.6 GUGCUUAGAGUUC**A**AGUCCUU siRNA GNAQ 548A.7 UGCUUAGAGUUC**A**AGUCCCUU siRNA GNAQ 548A.8 GCUUAGAGUUC**A**AGUCCCCUU siRNA GNAQ 548A.9 CUUAGAGUUC**A**AGUCCCCAUU siRNA GNAQ 548A.10 UUAGAGUUC**A**AGUCCCCACUU siRNA GNAO 548A.11 UAGAGUUC**A**AGUCCCCACCUU siRNA GNAQ 548A.12 AGAGUUCAAGUCCCCACCAUU siRNA GNAQ 548A.13 GAGUUCAAGUCCCCACCACUU siRNA GNAQ 548A.14 AGUUC**A**AGUCCCCACCACAUU siRNA GNAQ 548A.15 GUUC**A**AGUCCCCACCACAGUU siRNA GNAQ 548A.16 UUCAAGUCCCCACCACAGGUU siRNA GNAQ 548A.17 UCAAGUCCCCACCACAGGGUU siRNA GNAO 548A.18 CAAGUCCCCACCACAGGGAUU siRNA GNAQ 548A.19 AAGUCCCCACCACAGGGAUUU



Activité résiduelle de luciférase par siRNA

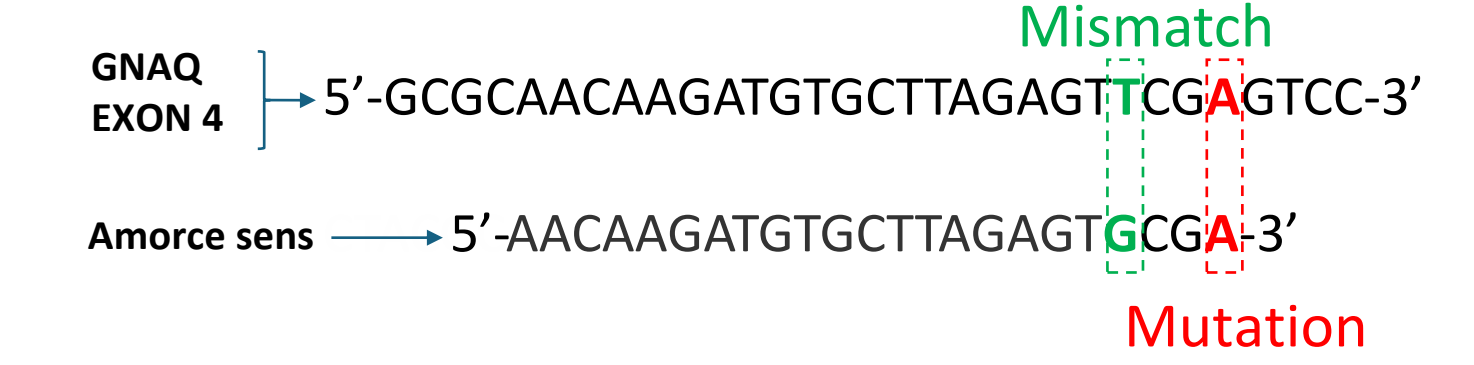
Méthode – Identification et caractérisation

PCR digitale



Quantification Absolue: Copies/µl

Amorce spécifique de GNAQR183Q

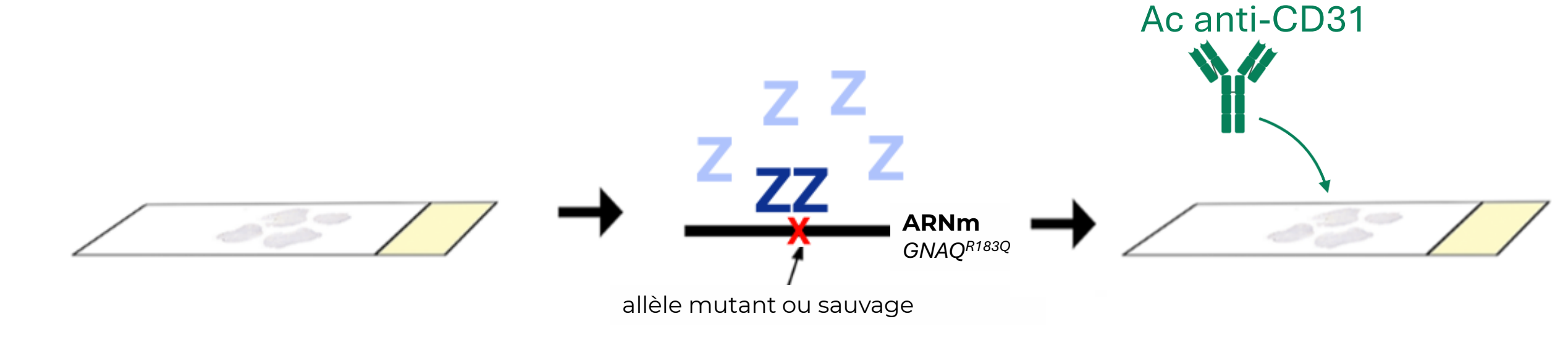


Méthode – Identification et caractérisation

Co-marquage

- BaseScope
- CD31

Marquage par BaseScope



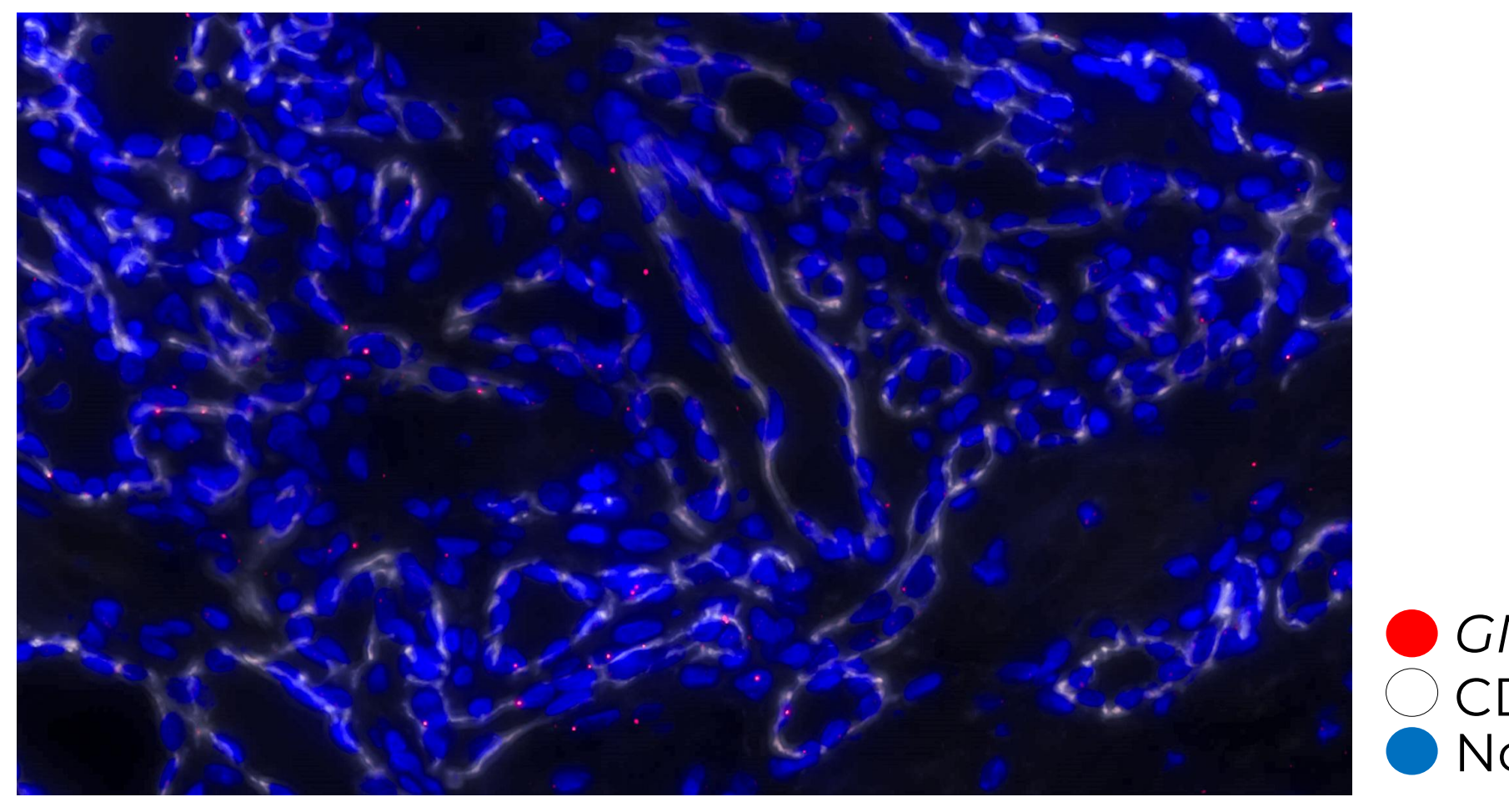
Perméabilisation du tissu

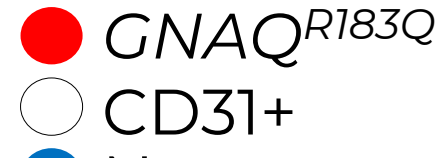
Hybridation des sondes ZZ

Marquage anticorps anti-CD31

Résultats – Identification et caractérisation

Co-marquage d'un échantillon de patient positif pour la mutation en NGS

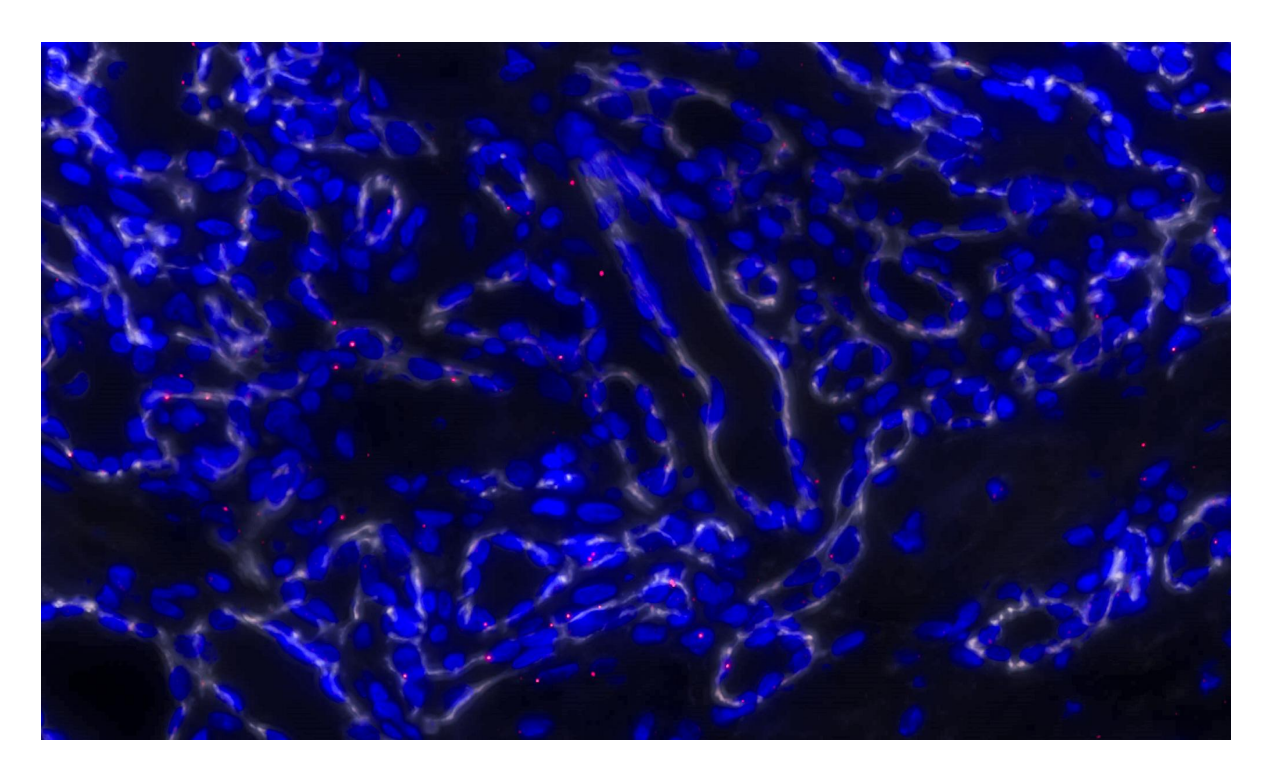




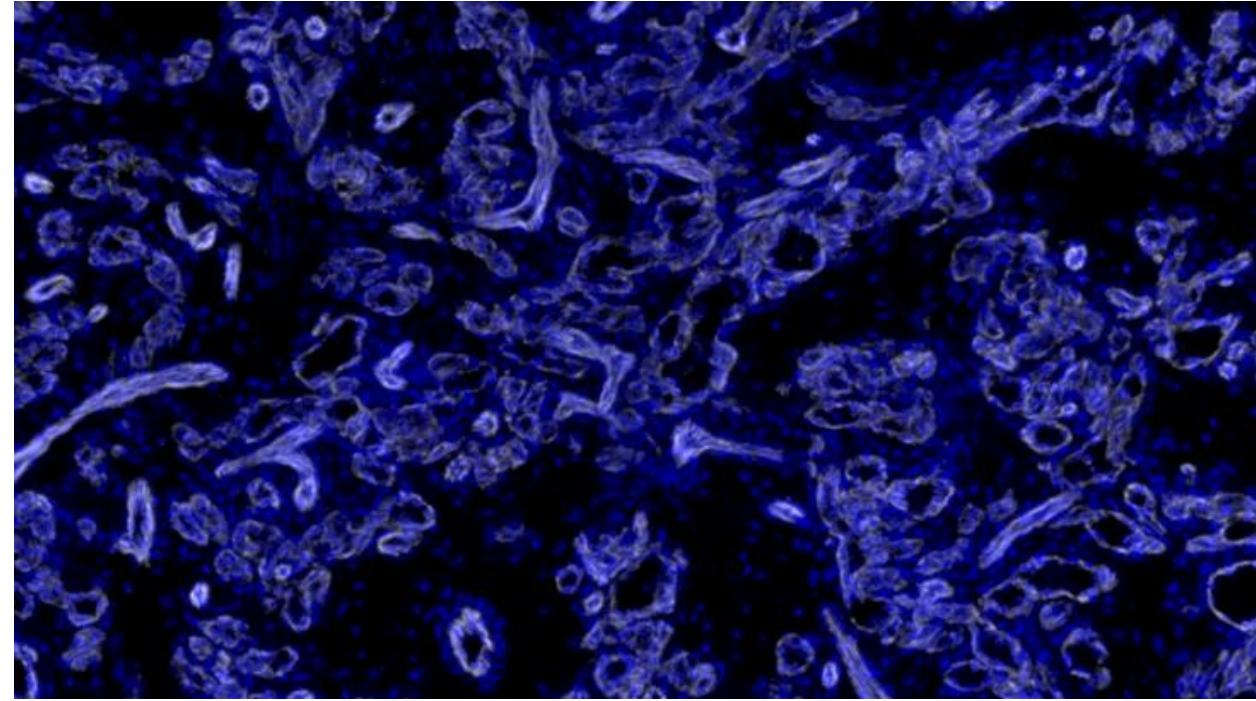


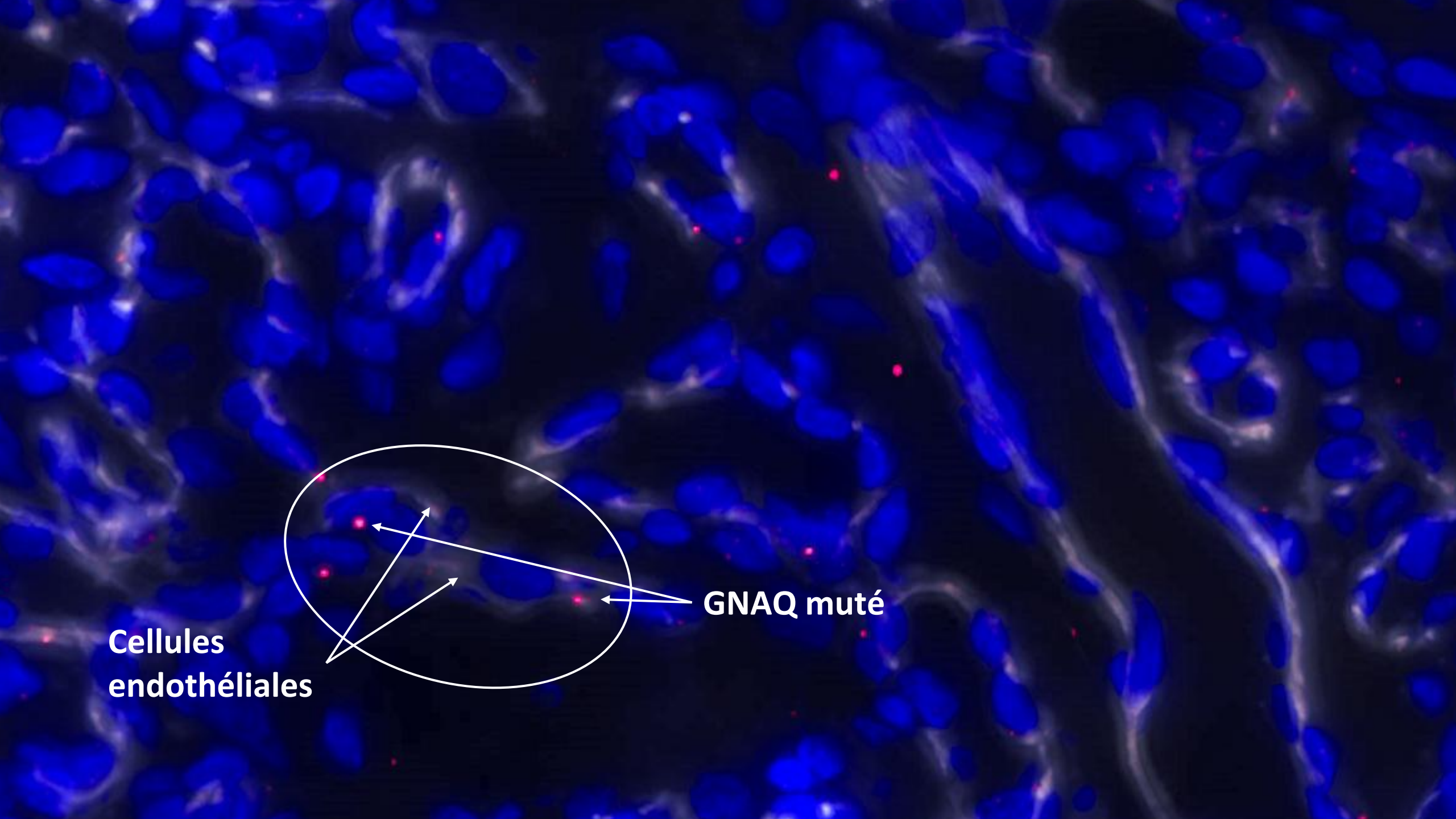
Résultats – Identification et caractérisation

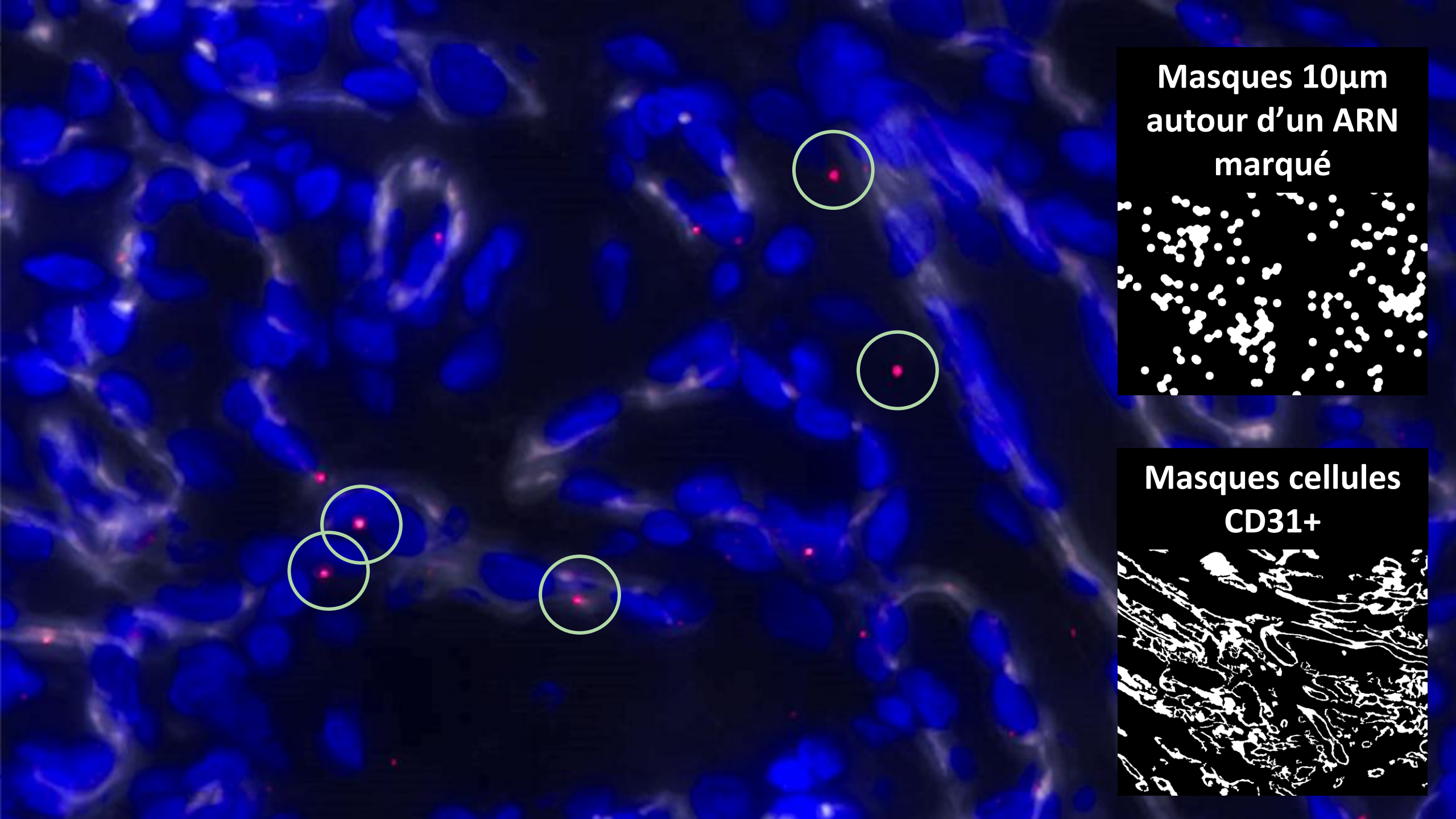
Co-marquage d'un échantillon de patient positif pour la mutation en NGS



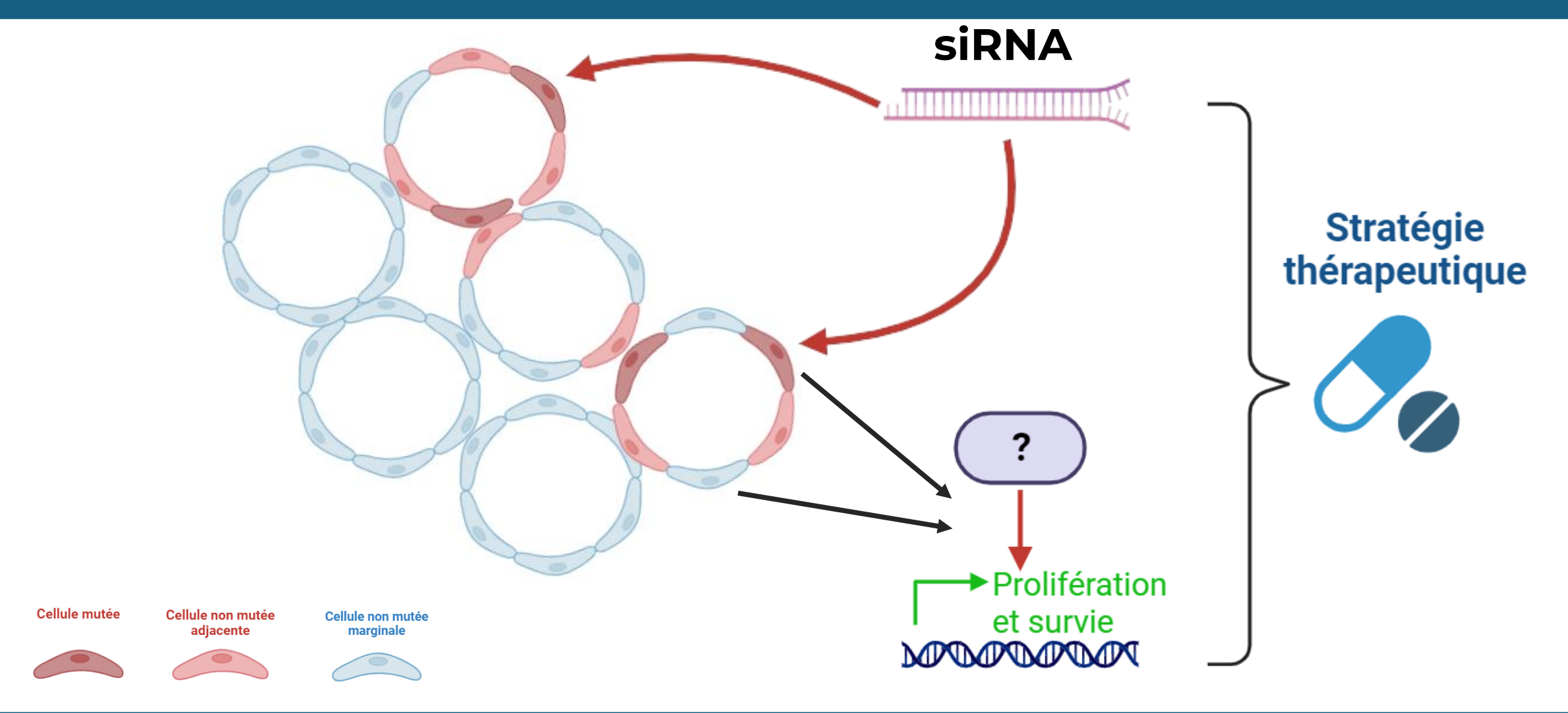
Co-marquage d'un échantillon d'hémangiomatose négatif pour la mutation







Conclusion



Inserm U1312 - BRIC TRIO2 team



Léa Pechtimaldjian

Sandra Ouchérif

Yamina Idrissi

Muriel Cario

Alain Taieb

Sorilla Prey

Maya Loot

Marie-Laure Jullié

Fanny Morice-Picard

Christine Léauté-Labreze



Marie Beylot-Barry team



Thomas Mathivet

Jérémie Teillon

Fabrice Cordelieres

Sébastien Marais













Mutation mosaïque causale. Quelles cellules?

Table 2

GNAQ Mutational Analysis in Capillary Malformation Cell Populations

Patient	Mutant Allelic Frequency (%)					
	Endothelial Cells	PDGFRβ+ Cells	Stromal Cells	CD45+ Cells		
5c	11.3	-	0.4	0		
10*	17.1	0	4.6	-		
11-	7.6 [±]	0	11.2 [†] .	0		
12a [*]	41.8	0	2.2	0.3		
12b-*	42.9	0	0	0		
13	2.8	0	0	0		

^{*}Sturge-Weber syndrome

(-) = not performed

Gray shaded area indicates multiple CM specimens from the same patient.

[†]p.R183G

Signal cellules lésion vs adjacent

Sonde GNAQ mut183
Sur Angiome mutant NGS 3%

Sonde GNAQ mut183 Sur Angiome mutant tissu adjacent

